

文章编号:1674-2974(2017)12-0116-05

DOI:10.16339/j.cnki.hdxbzkb.2017.12.018

R9-FOXM1(1-234aa)重组蛋白批量纯化 及其抑瘤效应研究*

谭拥军[†],余景卫,陈燕,向勤,谭桂湘

(湖南大学 生物学院,湖南 长沙 410082)

摘要:通过基因工程构建重组表达质粒 pET15b-R9-FOXM1(1-234aa),转化大肠杆菌建立表达 R9-FOXM1(1-234aa)的菌株。采用原核表达系统和 His-tag 亲和纯化手段,规模化制备纯化穿膜肽 R9-FOXM1(1-234aa),获得的蛋白的纯度达到 90%以上。用 R9-FOXM1(1-234aa)穿膜肽处理不同的肿瘤细胞,通过 MTT 实验研究其细胞效应。结果显示:当 R9-FOXM1(1-234aa)穿膜肽的浓度达到 2 mM 时,肿瘤细胞的死亡率为 50%左右。实验表明穿膜肽 R9-FOXM1(1-234aa)抑制不同肿瘤细胞的生长,有可能成为治疗肿瘤的潜在蛋白类药物。

关键词:多聚精氨酸;细胞穿膜肽;FOXM1;肿瘤治疗

中图分类号:Q784

文献标志码:A

Study of Scale Purification and Anti-tumor Efficacy of R9-FOXM1(1-234aa) Recombinant Protein

TAN Yongjun[†], YU Jingwei, CHEN Yan, XIANG Qin, TAN Guixiang

(College of Biology, Hunan University, Changsha 410082, China)

Abstract: A recombinant protein expression vector pET15b-R9-FOXM1(1-234aa) was constructed and transformed to *E. coli* in order to generate a strain expressing R9-FOXM1(1-234aa). The recombinant protein R9-FOXM1(1-234aa) (R9-FOXM1(1-234aa)) was isolated at a large scale through His-tag affinity chromatography. The purity of the purified protein reached 90%. Moreover, MTT assay was used to test the effect of R9-FOXM1(1-234aa) on cells, and the test results showed that R9-FOXM1(1-234aa) caused the cell death of different types of cancer cells with a half lethal dose around 2 mm. The results also demonstrated that R9-FOXM1(1-234aa) suppressed the proliferation of cancer cells and may be considered as a potential agent for anti-cancer in the future.

Key words: arginine-rich; cell-penetrating peptides; FOXM1; tumor therapy

Forkhead Box(Fox)基因广泛分布于从酵母到人的各种真核生物,构成一个庞大的转录因子家族^[1],在哺乳动物中已拥有超过 40 个以上的成员,分别参与调节细胞分化、增殖、代谢及细胞凋亡等

生理过程^[2].该家族的成员 FOXM1,首先被发现是一个调控细胞周期和细胞增殖的蛋白^[3].在细胞增殖过程中,FOXM1 表达水平增高,并参与调节细胞周期相关的多个基因转录,从而控制细胞的 DNA

* 收稿日期:2017-02-18

基金项目:国家自然科学基金资助项目(81472718),National Natural Science Foundation of China(81472718)

作者简介:谭拥军(1967—),男,湖南长沙人,湖南大学教授,博士生导师

† 通讯联系人,Email: yjtan@hnu.edu.cn

复制与有丝分裂过程^[4-6],还与DNA损伤修复有关^[7-8].通过小鼠肝脏再生模型的研究发现,当从肝细胞中特异性敲除FOXM1基因之后,肝脏再生过程中DNA的复制降低了80%,而有丝分裂被完全抑制^[5].在FOXM1被敲除的肝细胞中,细胞核内累积了大量细胞周期蛋白激酶的抑制蛋白p21Cip1和p27Kip1,从而大大降低了DNA的复制水平^[5-6,9].同时,FOXM1还上调激活DNA复制所必须的Cdc25A磷酸酶的表达^[5].另一方面,FOXM1的缺失抑制了有丝分裂过程:因为FOXM1控制着许多与有丝分裂相关的基因转录,其中包括cyclin B1,Cdc25B,polo-like kinase 1(PLK1),aurora B kinase, Survivin, 着丝粒蛋白A(CENPA)和CENPB基因^[5-6,10-11].此外,不同器官中有条件敲除FOXM1还抑制了致癌剂所诱导的肝癌、肺癌、结直肠癌等实体瘤的发生和发展^[9,12-13].

FOXM1蛋白氨基端能够通过与碳端结合,干扰FOXM1碳端的磷酸化,抑制FOXM1转录活性、竞争性阻碍FOXM1与其他肿瘤促进因子互作及促瘤信号通路对FOXM1的修饰活化作用等^[14].在细胞周期G₂阶段,FOXM1的激活依赖cyclin A/cdk的磷酸化,缺失N端的FOXM1不再依赖cyclin A,细胞周期被激活^[15].

细胞穿膜肽(cell-penetrating peptides, CPPs)是由氨基酸组成具有穿透细胞膜能力的多肽,最早从人HIV-1的TAT蛋白中发现:该蛋白中包含具有穿膜能力的特殊肽段区域^[16];多聚精氨酸作为目前已知最为简单有效的细胞穿膜肽,其中以九聚精氨酸(R9)效率最高(大约为TAT的20倍),具有极大的研究及应用价值^[17].本实验通过构建携带R9的FOXM1-N(1-234aa)原核诱导表达体系,采用His-tag亲和纯化手段进行批量纯化,选用不同肿瘤细胞株,研究重组蛋白对肿瘤细胞的影响.

1 材料与方法

1.1 材 料

乳腺癌细胞MCF-7、肝癌细胞HepG2、肺癌细胞A549来源于(American Type Culture Collection, ATCC),二苯基溴化四氮唑蓝(MTT)由上海生工提供,DMEM培养基和1640培养基均为GIBCO公司产品,HisTrapTM FF crude, AKTA均由GE公司提供.

1.2 方 法

1.2.1 pHis-FOXM1(1-234aa)-R9的构建

设计NcoI,BamHI限制性内切酶上下游引物,引物序列如下:

引物1(上游引物): GCG CCC ATG GTG CAT CAC CAT CAC CAT CAC ATG AAA ACT AGC CCC CGT CG.

引物2(下游引物): GCG GAT CCC TAC CTT CTC CTT CTC CTT CTC CTC CTA GAC ACA GAG TTC TGC CAG G.

以pcDNA3.1-FOXM1为模板,在引物1和引物2的引导下PCR扩增反应体系为:克隆质粒pcDNA3.1-FOXM1(80 ng/μL)1 μL,10X PCR Buffer for KOD-Plus-Neo5 μL,dNTPs(2 mM each)5 μL,MgSO₄溶液(25 mM)4 μL,KOD-Plus-Neo(1.0 U/mL)1 μL,引物1(100 nM)1 μL,引物2(100 nM)1 μL,DMSO2 μL,加去离子水补充至反应体系50 μL.PCR反应条件:先94 °C 5 min;再95 °C 30 s,57 °C 30 s,68 °C 50 s,共30个循环;然后68 °C 10 min,4 °C 5 min.反应结束后,对PCR扩增产物进行1.5%琼脂糖凝胶电泳,回收并纯化扩增的目的片段,纯化产物溶于40 μL TE缓冲液中,-20 °C冻存备用.

利用NcoI,BamHI限制性内切酶切出克隆片段的粘性末端.酶切体系:目的片段(150 ng/mL)或pET-15b质粒(150 ng/mL)6.7 μL,NcoI限制性内切酶0.5 μL,BamHI限制性内切酶0.5 μL,10X FastDigest Buffer1 μL,加去离子水至总体积10 μL,37 °C水浴反应30 min.

将NcoI,BamHI限制性内切酶处理的目的片段和载体进行连接,连接体系及反应条件为:酶切载体5.63 μL,酶切目的片段2.36 μL,T4 DNA Ligase(5 U/mL)1 μL,10X T4 DNA Ligase buffer1 μL,加去离子水至反应体系10 μL,22 °C反应20 min,-20 °C冻存备用.

取一管DH5 α 感受态细胞置于冰上溶解,待感受态完全溶解后,加入1 μL的连接片段,用拇指轻弹混匀,冰上放置30 min.热激过程:42 °C热激90 s,冰上放置2 min;加入1 mL的LB培养基,37 °C放置45 min;取200 μL涂布LB平板(氨苄青霉素浓度为25 μg/mL),37 °C培养过夜(12~16 h);挑取单克隆,接种到5 mL的LB培养液(含25 μg/mL氨苄青霉素)37 °C振荡培养过夜(12~16 h).提取质粒,用限制性内切酶NcoI,BamHI进行酶切鉴

定,保种并分装测序.pHis-FOXM1(1-234aa)-R9 原核表达质粒结构示意图(图1(a))。

1.2.2 重组蛋白的规模化制备及检测

将表达载体 pHis-FOXM1(1-234aa)-R9 转化大肠杆菌 Rosetta DE3 感受态细胞,37 °C 培养过夜(12~16 h),随机挑选一个单克隆,接种到 5 mL 的 LB 培养基(含 25 μg/mL 氨苄青霉素和 25 μg/mL 氯霉素),37 °C 振荡培养 4~6 h. 将菌液加到 100 mL 的 LB 培养液(含 25 μg/mL 氨苄青霉素和 25 μg/mL 氯霉素)37 °C 振荡培养过夜(12~16 h),取菌液检测 OD₆₀₀ 值,调整 OD₆₀₀ 值至 0.8~1,加入 IPTG 诱导剂(终浓度 0.8 mM),30 °C 诱导振荡培养 6 h. 4 000 r/min 离心 20 min 收集菌体,用 15 mL Binding Buffer(20 mM Na₃PO₄, 500 mM NaCl, 20 mM imidazole, pH 7.4)重悬菌体,超声 40 min(超 3 s,停 2 s)破碎菌体. 细菌裂解液采用原核表达系统和 His-tag 亲和纯化手段,纯化后蛋白利用 SDS-PAGE 凝胶电泳方法检测蛋白。

根据上述确认的菌液进行扩大培养,在 8 瓶 500 mL 的摇瓶进行培养,37 °C 振荡培养过夜,取菌液检测 OD₆₀₀ 值,调整 OD₆₀₀ 值至 0.8~1,加入 IPTG 诱导剂,30 °C 诱导振荡培养 6 h. 4 000 r/min 离心 20 min 收集菌体,用 15 mL Binding Buffer 重悬菌体,超声 40 min 破碎菌体. 裂解液用 HisTrapTM FF. crude 亲和层析方法,通过 GE AKTA 蛋白纯化系统,用不同强度的离子浓素洗脱,收集吸收峰出现的样品,然后利用 SDS-PAGE 凝胶电泳方法检测蛋白。

1.2.3 MTT 法检测细胞活性

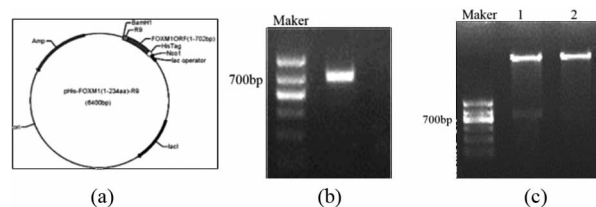
取对数期细胞,以每孔 20 000 个细胞接种到 96 孔板,每孔 100 μL 培养基,置于 37 °C、5% CO₂ 培养箱中培养 24 h. 吸出培养基,加入纯化的蛋白,蛋白按照 5 个浓度梯度,5 个平行样处理细胞,置于培养箱中培养 24 h. 每孔加入 20 μL MTT 培养 4 h,小心吸出上清,每孔加 100 μL DMSO,用酶标仪测定 492 nm 的吸光度 OD 值. 利用 Origin 9.0 软件系统绘制曲线。

2 实验结果

2.1 pHis-FOXM1(1-234aa)-R9 的构建

PCR 扩增 R9-FOXM1(1-234aa) 目的基因,1.5% 琼脂糖凝胶电泳分析,条带位于 700bp 位置,如图 1(b)所示. 构建的重组表达质粒 pHis-FOXM1

(1-234aa)-R9 经 NcoI, BamHI 限制性内切酶处理,结果如图 1(c)所示,1 号样品符合结果,测序结果比对,与理论序列一致。



(a) 重组表达载体质粒图 pHis-FOXM1(1-234aa)-R9
(b) 目的基因 FOXM1(1-234aa)的扩增结果
(c) 重组质粒 pET15b-R9-FOXM1(1-234aa)双酶切鉴定结果

图 1 重组表达载体的构建

Fig.1 The construction of recombinant expression plasmid

2.2 重组蛋白 R9-FOXM1(1-234aa)的批量纯化及鉴定

裂解液采用原核表达系统和 His-tag 亲和纯化手段,采用不同洗脱强度收集纯化蛋白,实现规模化制备纯化穿膜肽融合人 FOXM1 蛋白氨基端(1-234aa)的重组蛋白,并获得纯化过程的 HPLC 分析谱图图 2(a),横坐标表示洗脱体积,纵坐标表示吸收峰 UV280. 吸收峰曲线代表整个过程中 UV280 检测结果,阶梯状曲线代表洗脱液的离子强度(实验过程中采用梯度洗脱),箭头为重组蛋白吸收峰. SDS-PAGE 凝胶电泳方法检测蛋白制备不同阶段的蛋白样品,上样量均为 10 μg(图 2(b)),AKTApure 蛋白纯化仪纯化过程中不同时间段纯化蛋白的纯度,100% 洗脱时目的蛋白的纯度高,箭头为目的蛋白的位置. Lane1: Marker Lane2: sample Lane3: filtered sample Lane4: No binding sample Lane5: 0% elutionB Lane6: 30% elutionB Lane7: 100% elutionB).

2.3 重组蛋白 R9-FOXM1(1-234aa)对肿瘤细胞的抑制效应

MTT 实验验证重组蛋白对肿瘤细胞增殖表型的影响:选择乳腺癌 MDA-MB-231、肺癌 A549、肝癌 HepG2 细胞,用不同浓度的重组蛋白(1 μmol/L, 3 μmol/L, 5 μmol/L, 7 μmol/L, 9 μmol/L)进行处理,24 h 后检测细胞的活性,R9-GFP 处理作为对照,获得剂量依赖曲线,如图 3(a)不同浓度重组蛋白处理 231 细胞,24h 后细胞的影响,图 3(c)不同浓度重组蛋白处理 A549 细胞,24h 后细胞的影响,图 3(e)不同浓度重组蛋白处理 HepG2 细胞,24h 后细胞的影响. 针对所选细胞,固定重组蛋白处理浓度

($1 \mu\text{mol/L}$),在处理后不同时间点(1 d, 2 d, 3 d)检测细胞活性,获得相关细胞的生长曲线,图3(b)1 $\mu\text{mol/L}$ 重组蛋白处理231细胞,3d内细胞活性变化,图3(d)1 $\mu\text{mol/L}$ 重组蛋白处理A549细胞,3d

内细胞活性变化,图3(f)1 $\mu\text{mol/L}$ 重组蛋白处理HepG2细胞,3d内细胞活性变化.实验结果表明,R9-FOXM1(1-234aa)对不同的肿瘤细胞都具有一定的抑制作用.

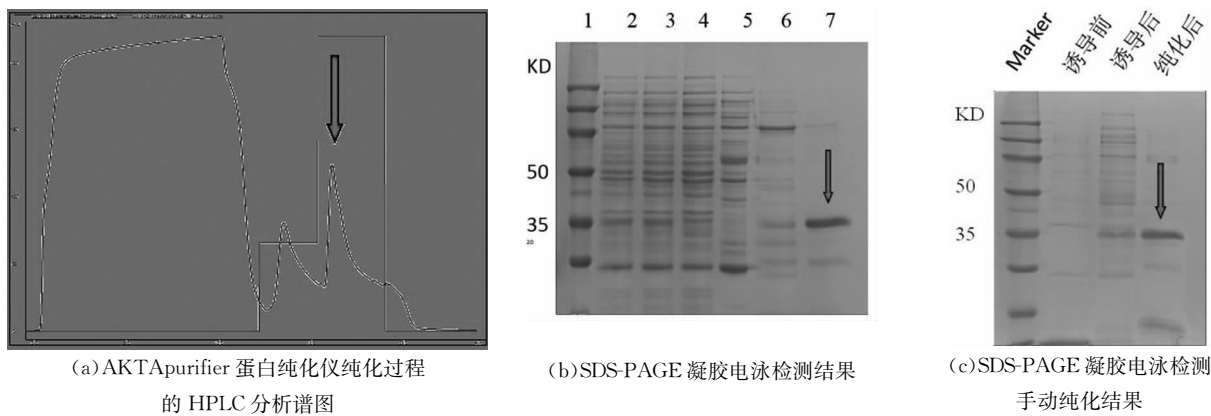


图2 重组蛋白R9-FOXM1(1-234aa)的批量纯化及检测

Fig.2 Large-scale preparation and identification of R9-FOXM1(1-234aa) protein

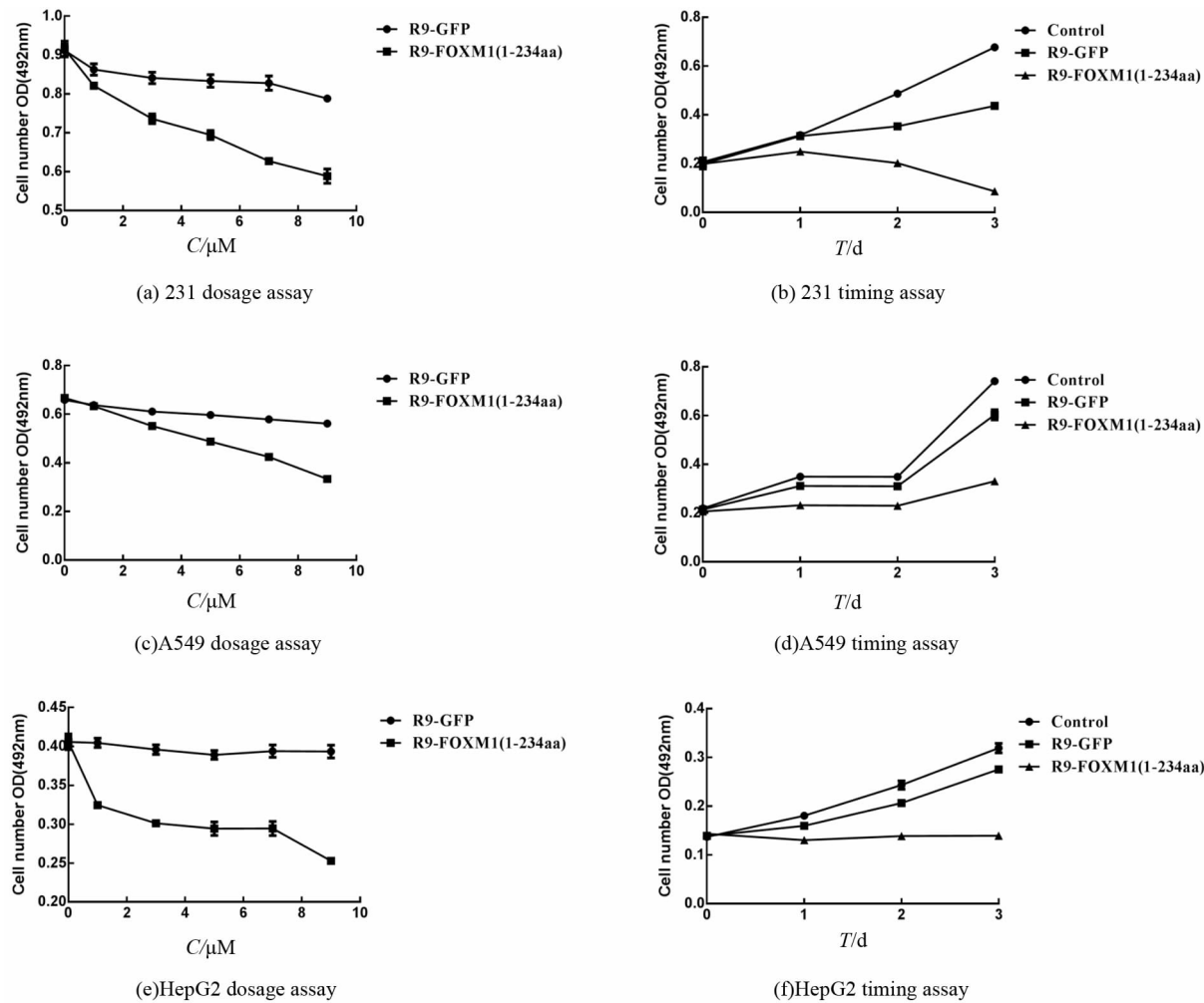


图3 显示了R9-FOXM1(1-234aa)重组蛋白对不同类型肿瘤细胞增殖的抑制作用

Fig.3 R9-FOXM1(1-234aa) suppressed the proliferation of different types of cancer cells

3 结 论

转录因子 FOXM1 能刺激细胞增殖、增强 DNA 损伤修复能力、维持细胞干性、促进细胞迁移，并被作为肿瘤治疗的分子靶标，抑制 FOXM1 有效抑制肿瘤的发生和发展。FOXM1 蛋白氨基端抑制 FOXM1 转录活性、竞争性阻碍 FOXM1 与其他肿瘤促进因子互作及促瘤信号通路对 FOXM1 的修饰活化作用等。本实验研究结合多聚精氨酸 R9 穿膜肽，构建了穿膜肽融合人 FOXM1 蛋白氨基端(1-234aa)的原核表达质粒；采用原核表达系统和 His-tag 亲和纯化手段，规模化制备穿膜肽 R9-FOXM1(1-234aa)。相对手动纯化，实验纯化手段具有蛋白纯度高，产量高，时间短等明显优势。为进一步的活体实验提供充足的材料。细胞水平上选择了不同类型的肿瘤细胞（乳腺癌 MDA-MB-231、肺癌 A549、肝癌 HepG2）开展实验，证实了 R9-FOXM1(1-234aa) 对肿瘤细胞的抑制作用，R9-FOXM1(1-234aa) 具体的作用机制还需要进一步的研究。本研究为 R9-FOXM1(1-234aa) 成为新型抗肿瘤蛋白类药物提供了初步理论基础。

参考文献

- [1] KAESTNER K H, KNOCHEL W, MARTINEZ D E. Unified nomenclature for the winged helix/forkhead transcription factors [J]. *Genes Development*, 2000, 14(2): 142–146.
- [2] HANNENHALLI S, KAESTNER K H. The evolution of Fox genes and their role in development and disease [J]. *Nature Review Genetics*, 2009, 10(4): 233–240.
- [3] YE H, KELLY T F, SAMADANI U, et al. Hepatocyte nuclear factor 3/fork head homolog 11 is expressed in proliferating epithelial and mesenchymal cells of embryonic and adult tissues [J]. *Molecular Cell Biology*, 1997, 17(3): 1626–1641.
- [4] YE H, HOLTERMAN A X, YOO K W, et al. Premature expression of the winged helix transcription factor HFH-11B in regenerating mouse liver accelerates hepatocyte entry into S phase [J]. *Molecular Cell Biology*, 1999, 19(12): 8570–8580.
- [5] WANG X, KIYOKAWA H, DENNEWITZ M B, et al. The Forkhead Box m1b transcription factor is essential for hepatocyte DNA replication and mitosis during mouse liver regeneration [J]. *Proceeding of the National Academy of Science USA*, 2002, 99(26): 16881–16886.
- [6] WANG I C, CHEN Y J, HUGHES T, et al. Forkhead box M1 regulates the transcriptional network of genes essential for mitotic progression and genes encoding the SCF (Skp2-Cks1) ubiquitin ligase [J]. *Molecular Cell Biology*, 2005, 25(24): 10875–10894.
- [7] TAN Y, RAYCHAUDHURI P, COSTA R H. Chk2 mediates stabilization of the FoxM1 transcription factor to stimulate expression of DNA repair genes [J]. *Molecular Cell Biology*, 2007, 27(3): 1007–1016.
- [8] TAN Y, CHEN Y, YU L, et al. Two-fold elevation of expression of FoxM1 transcription factor in mouse embryonic fibroblasts enhances cell cycle checkpoint activity by stimulating p21 and Chk1 transcription [J]. *Cell Proliferation*, 2010, 43(5): 494–504.
- [9] KALINICHENKO V V, MAJOR M L, WANG X M B, et al. Foxm1b transcription factor is essential for development of hepatocellular carcinomas and is negatively regulated by the p19ARF tumor suppressor [J]. *Genes Development*, 2004, 18(7): 830–850.
- [10] KRUPCZAK-HOLLIS K, WANG X, KALINICHENKO V V, et al. The mouse Forkhead Box m1 transcription factor is essential for hepatoblast mitosis and development of intrahepatic bile ducts and vessels during liver morphogenesis [J]. *Developmental Biology*, 2004, 276(1): 74–88.
- [11] WANG X, QUAIL E, HUNG N J, et al. Increased levels of forkhead box M1B transcription factor in transgenic mouse hepatocytes prevent age-related proliferation defects in regenerating liver [J]. *Proceeding of the National Academy of Science USA*, 2001, 98(20): 11468–11473.
- [12] KIM I M, ACKERSON T, RAMAKRISHNA S, et al. The Forkhead Box m1 transcription factor stimulates the proliferation of tumor cells during development of lung cancer [J]. *Cancer Research*, 2006, 66(4): 2153–2161.
- [13] YOSHIDA Y, WANG I C, YODER H M, et al. The forkhead box M1 transcription factor contributes to the development and growth of mouse colorectal cancer [J]. *Gastroenterology*, 2007, 132(4): 1420–1431.
- [14] PARK H J, WANG Z, COSTA R H, et al. An N-terminal inhibitory domain modulates activity of FoxM1 during cell cycle [J]. *Oncogene*, 2008, 27(12): 1696–1704.
- [15] LAOUKILI J, ALVAREZ M, MEIJER L A, et al. Activation of FoxM1 during G2 requires cyclin A/Cdk-dependent relief of autorepression by the FoxM1 N-terminal domain [J]. *Molecular and Cellular Biology*, 2008, 28(9): 3076–3087.
- [16] REGBERG J, SRIMANEE A, LANGEL U, et al. Applications of cell-penetrating peptides for tumor targeting and future cancer therapies [J]. *Pharmaceuticals (Basel)*, 2012, 5(9): 991–1007.
- [17] SCHMIDT N, MISHRA A, LAI G H, et al. Arginine-rich cell-penetrating peptides [J]. *FEBS Letters*, 2010, 584(9): 1806–1813.